# Portfolioüberschneidung

## BGDV / PAPI

| Überschneidung | Gemeinsame Positionen |
|---|---|
| 11,37% | 22 |

## Bahl & Gaynor Dividend ETF

Bestandsdaten 31.03.2025 | 99,70% NAV

Überschneidung / BGDV 33,76%

## Parametric Equity Premium Income ETF

Bestandsdaten 31.03.2025 | 98,25% NAV

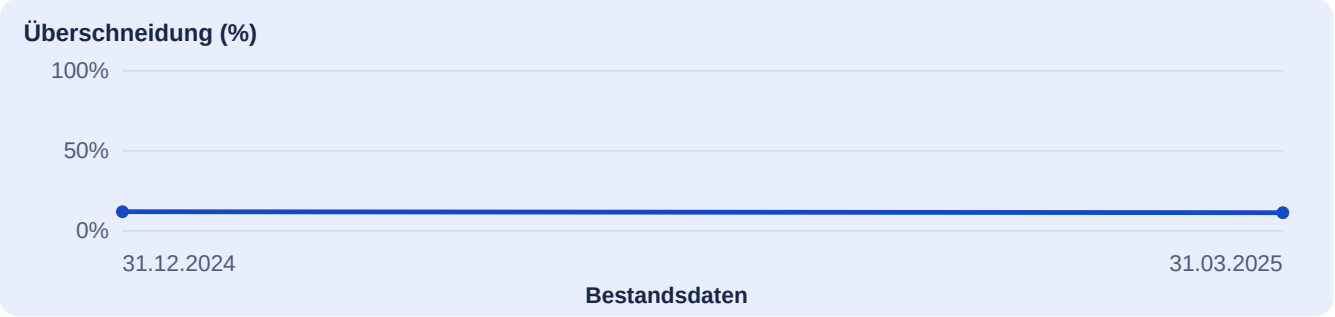
Überschneidung / PAPI 11,38%

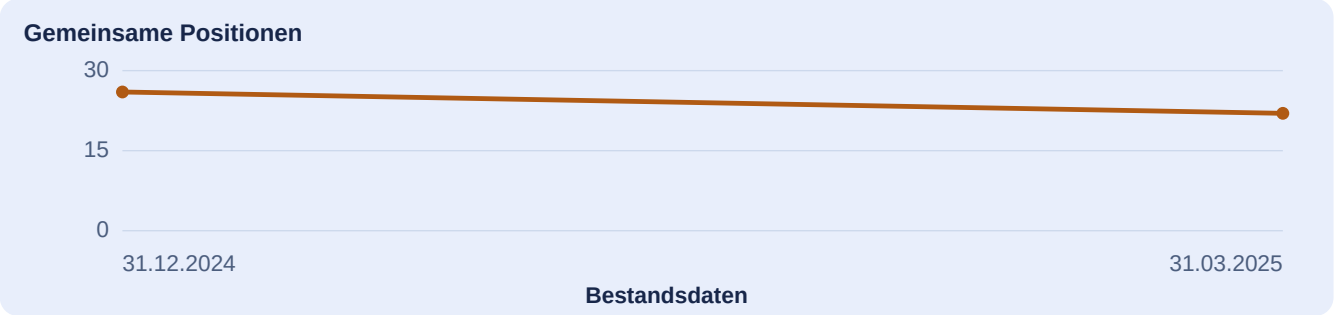
## Größte gemeinsame Positionen

| Wertpapier | BGDV | PAPI | Überschneidung |
|---|---|---|---|
| CME Group Inc | 0,62% | 0,62% | 0,62% |
| Williams Cos Inc/The | 2,81% | 0,59% | 0,59% |
| AbbVie Inc | 3,36% | 0,58% | 0,58% |

Die Gewichte beziehen sich auf das Nettofondsvermögen. Für jede gemeinsame Stammaktienklasse wird das kleinere Gewicht verwendet. Die Gewichte bleiben unverändert, wenn Positionen keiner Aktie zugeordnet werden können.

# Verlauf




2 gemeinsame Stichtage vom 31.12.2024 bis 31.03.2025. Beide Meldungen beziehen sich auf denselben Stichtag. Der erfasste Anteil des Nettofondsvermögens beträgt mindestens 98,10 %. Die Meldungen gingen 57 bis 60 Tage nach dem Stichtag ein. Die genaue Uhrzeit der Veröffentlichung geht aus dem Archiv nicht hervor.

# Größte Veränderungen

31.12.2024 / 31.03.2025 -0,62 pp

| Wertpapier | Überschneidung 31.12.2024 | Überschneidung 31.03.2025 | Änderung (PP) |
|---|---|---|---|
| Automatic Data Processing, Inc. | 0,54% | 0,00% | -0,54 |
| Merck & Co., Inc. | 0,51% | 0,00% | -0,51 |
| Walmart Inc | 0,00% | 0,49% | +0,49 |
| Microsoft Corp. | 0,28% | 0,00% | -0,28 |
| CME Group Inc | 0,41% | 0,62% | +0,21 |
| Übrige gemeinsame Aktienklassen | | | +0,01 |

# Quellen und Methode

Die Gewichte beziehen sich auf das Nettofondsvermögen. Für jede gemeinsame Stammaktienklasse wird das kleinere Gewicht verwendet. Die Gewichte bleiben unverändert, wenn Positionen keiner Aktie zugeordnet werden können.

nport-common-equity-v1

| Bestandsdaten | Gewicht (%) | Klassen | BGDV · SEC | PAPI · SEC |
|---|---|---|---|---|
| 31.03.2025 | 11,37% | 22 | 0001145549-25-038306 | 0001752724-25-122955 |
| 31.12.2024 | 12,00% | 26 | 0001145549-25-015309 | 0001752724-25-038483 |